



جمهورية مصر العربية  
وزارة الاسكان والمرافق والمجتمعات العمرانية  
مركز بحوث الاسكان والبناء

# DESIGN AIDS AND EXAMPLES

In Accordance with  
The Egyptian Code for Design and  
Construction of Concrete Structures ECCS 203-2001  
Limit States Design Method of Concrete Structures



مساعدات التصميم مع أمثلة  
طبقاً للكود المصري

لتصميم وتنفيذ المنشآت الخرسانية كود ٢٠٣-٢٠٠١

تصميم العناصر الخرسانية

بطريقة الحدود القصوى

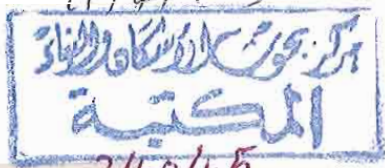
الاجنة الدائمة للكود المصري

كمبيوشن ٢٠٣

إصدار ٢٠٣

# DESIGN AIDS AND EXAMPLES

٢١/٤/٢٠٠٣



In Accordance with  
The Egyptian Code for Design and  
Construction of Concrete Structures ECCS 203-2001

Limit States Design Method of Concrete Structures

مساعدات التصميم مع أمثلة  
طبقاً للكود المصري  
لتصميم وتنفيذ المنشآت الخرسانية كود ٢٠٠١-٢٠٣  
تم التوثيق

تصميم العناصر الخرسانية  
بطريقه الحدود القصوى  
**المركز القومى لجودة الإسكان والبناء**  
Housing & Building National Research Center  
اصدار ٢٠٠٣ Since 1954

Z A 15

٢ ب ٧

اللجنة الدائمة للكود المصري  
كود رقم ٢٠٣

## إهداء

عرفاناً بفضله وجهده نهدي هذا العمل إلى روح فقيدنا العزيز  
الأستاذ الدكتور / حسن حسني رئيس اللجنة الدائمة للكود  
المصري لتصميم وتنفيذ المنشآت الخرسانية ورئيس جامعة  
طوان أستاذاً لأجيال مخلصاً لله والوطن ومثالاً للخلق القويم.



## تقديم

- صدرت أسس تصميم وتنفيذ الخرسانة المسلحة للمرة الأولى في مصر عام ١٩٣٠ حيث أصدرت مصلحة السكة الحديد المصرية المواصفات العامة لأعمال التصميم والإنشاءات للمنشآت الخرسانية وغيرها. وفي نفس العقد من الزمان أصدرت مصلحة الطرق والكباري اشتراطات الأعمال الخرسانية. وما زالت كل من هذه المعايير والاشتراطات سارية المفعول في جهة إصدارها - بعد تحدبها من حين لآخر - بما لا يتعارض مع حدود الوثائق التي صدرت بعد ذلك، كما صدرت اشتراطات رأس التصميم والتنفيذ للخرسانة المسلحة في المبانى عام ١٩٦٢ وأعيد إصدارها بعد تعديلها عام ١٩٦٩ تنفيذاً للقانون رقم ٦ لسنة ١٩٦٤.

- ونظراً للتطور المستمر في مجال التشييد عموماً فقد تم تشكيل اللجنة الدائمة للكود المصري لتصميم وتنفيذ المنشآت الخرسانية المسلحة بالقرار الوزاري رقم ٣٨٣ لسنة ١٩٨٤ والتي قامت بإعداد الكود الذي صدر بالقرار الوزاري رقم ٤٦٤ لسنة ١٩٨٩. وقد تم عمل التعديل الأول لهذا الكود وصدر بالقرار الوزاري رقم ٢٠٨ لسنة ١٩٩٥.

- تم تشكيل اللجنة الدائمة لأسس تصميم وشروط تنفيذ المنشآت الخرسانية المسلحة بالقرار الوزاري رقم ٤٩٣ لسنة ١٩٩٦ والقرارات المكملة رقم ٦٩ لسنة ١٩٩٨ ورقم ١٤١ لسنة ١٩٩٨. وقد عقدت اللجنة الدائمة للكود إجتماعات مكثفة تم من خلالها إجراء تعديلات في كافة الأبواب وقد تم إضافة الباب العاشر الخاص بالخرسانة سابقة الإجهاد كما لم إضافة جزء عن الخرسانة سابقة الصنع والتحليل الإنساني باستخدام الحاسوب الآلى. كما قامت اللجنة الدائمة للكود بإصدار ثلاثة ملاحق منفصلة للكود. يتضمن الأول مساعدات التصميم ويتضمن الثاني دليل إعداد الرسومات والتفاصيل الإنسانية أما الثالث فيشمل دليل الاختبارات المعملية للمواد المستخدمة في صناعة الخرسانة.

- هذا وقد تم بعون الله إصدار هذا التعديل للكود بالقرار الوزاري رقم ٩٨ لسنة ٢٠٠١ وقد نص القرار على أن تتولى اللجنة الدائمة لهذا الكود تحسينه إذا دعت الحاجة لذلك وتصيير التعديلات بعد إصدارها جزءاً لا يتجزأ من الكود كما يتولى مركز بحوث الإسكان والبناء العمل على تنفيذ الكود ونشره والتدريب عليه بما يحقق ارتقاء صناعة الخرسانة المسلحة في مصر.

والله ولي التوفيق

وزير الإسكان والمرافق والمجتمعات العمرانية

استاذ دكتور مهندس / محمد ابراهيم سليمان

قرار وزاري

رقم (٩٨) لسنة ٢٠٠١

بشأن تجديد الكود المصري

لتصميم وتنفيذ المنشآت الخرسانية

وزير الإسكان والمرافق والمجتمعات العمرانية

- بعد الإطلاع على القانون رقم ٦ لسنة ١٩٦٤ في شأن أسس تصميم وشروط تنفيذ الأعمال الإنسانية وأعمال البناء.
- وعلى القرار الوزاري رقم ١٠٩٥ لسنة ١٩٦٩ في شأن أسس تصميم وشروط تنفيذ أعمال الخرسانة المسلحة في المباني.
- وعلى القرار الجمهوري رقم ٤٦ لسنة ١٩٧٧ في شأن الهيئة العامة لمركز بحوث الإسكان والبناء، والتخطيط العمراني.
- وعلى القرار الوزاري رقم ٢٠٨ لسنة ١٩٩٥ بشأن الكود المصري لتصميم وتنفيذ المنشآت الخرسانية المسلحة.
- وعلى القرار الوزاري رقم ٤٩٢ لسنة ١٩٩٦ بتشكيل اللجنة الرئيسية لأسس تصميم وشروط تنفيذ الأعمال الإنسانية وأعمال البناء.
- وعلى القرار الوزاري رقم ٤٩٣ لسنة ١٩٩٦ والمتضمن تشكيل اللجنة الدائمة لأسس تصميم وشروط تنفيذ المنشآت الخرسانية المسلحة والقرارات المكملة رقم ٦٩ لسنة ١٩٩٨ ورقم ١٤١ لسنة ١٩٩٨.
- وعلى المذكرة المقدمة من كل من السيد الأستاذ الدكتور / رئيس اللجنة الدائمة لأسس تصميم وتنفيذ المنشآت الخرسانية المسلحة والسيدة الأستاذ الدكتور / رئيس مجلس إدارة مركز بحوث الإسكان والبناء.

فـ

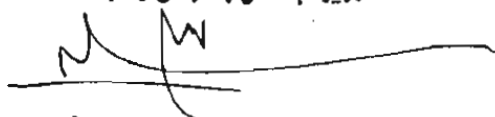
مادة (١) : تجديد الكود المصري لتصميم وتنفيذ المنشآت الخرسانية المسلحة الصادر بالقرار الوزاري رقم ٢٠٨ لسنة ١٩٩٥ طبقاً لما هو وارد بالكود المرفق.

مادة (٢) : تتولى اللجنة الدائمة لأسس تصميم وشروط تنفيذ المنشآت الخرسانية المسلحة اقتراح التعديلات التي تراها لازمة بهدف التجديد كلما دعت الحاجة لذلك وتصير التعديلات بعد إصدارها جزءاً لا يتجزأ من الكود.

مادة (٣) : يتولى مركز بحوث الإسكان والبناء العمل على تنفيذ ما جاء بالكود المصري لتصميم وتنفيذ المنشآت الخرسانية المسلحة ونشره والتدريب عليه.

مادة (٤) : ينشر هذا القرار في الوقائع المصرية ويعتبر نافذاً من تاريخ نشره.

وزير الإسكان والمرافق والمجتمعات العمرانية



صدر في ٢١ / ٢ / ٢٠٠١  
صورة

أستاذ دكتور مهندس / محمد إبراهيم سليمان

## TABLE OF CONTENTS

<b>List of Tables</b>	<b>i</b>
<b>List of Charts</b>	<b>ii</b>
<b>1. Material Strength and Stress-Strain Relationships</b>	<b>1-1</b>
1.1 Introduction	1-1
1.2 Types and Grades of Reinforcement Bars	1-1
1.3 Grades of Concrete	1-3
1.4 Stress-Strain Relationship for Concrete	1-3
1.5 Stress-Strain Relationship for Reinforcement	1-4
<b>2. Flexural Members</b>	<b>2-1</b>
2.1 General Considerations	2-1
2.2 Sections Subjected To Simple Bending With Tension Rft Only	2-1
2.2.1 Rectangular sections	2-1
2.2.2 T-Sections	2-2
2.3 Design Aids for Flexure in the form of Charts and Tables	2-4
2.4 Modes of Failure	2-6
2.4.1 Brittle failure	2-6
2.4.2 Balanced failure	2-6
2.4.3 Ductile failure	2-6
2.5 Maximum Ultimate Bending Moment Using Tension Steel Reinforcement Only and Maximum RFT	2-7
2.6 Design of Sections Subjected to Simple Bending with Tension and Compression RFT.	2-8
2.6.1 General notes for sections subjected to simple bending	2-9
2.7 Sections Subjected to Eccentric Tensile Force	2-10
2.8 Solved Examples for Sections Subjected to Flexure	2-11
<b>3. Axially Loaded Short Compression Members</b>	<b>3-1</b>
3.1 Introduction	3-1
3.2 Examples	3-1
<b>4. Members Subjected to Eccentric Forces</b>	<b>4-1</b>
4.1 Introduction	4-1
4.2 Interaction Diagram	4-1
4.3 Behavior of Eccentrically Loaded Short Columns	4-3
4.3.1 Balanced failure in rectangular column sections	4-4
4.3.2 Tension failure in rectangular sections	4-4
4.3.3 Compression failure in rectangular sections	4-5
4.4 Solved Examples	4-6
4.5 Design of Sections Subjected to Eccentric Compression Force	4-15
4.6 Solved Examples	4-17

<b>5. Compression Members Subjected To Biaxial Bending</b>	
5.1 Introduction	5-1
5.2 Solved Examples	5-1
5.3 Design of Biaxially Loaded Members Using Code Provision 6-4-6	5-2
5.3.1 Case of Symmetrical Arrangement of Reinforcement	5-4
5.3.2 Case of Unsymmetrical Arrangement Reinforcement	5-4
5.4 Maximum Reinforcement ratio	5-6
5.5 Interaction Diagrams For Biaxially Loaded Members	5-9
<b>6. Reinforced Concrete Slender Columns</b>	
6.1 Braced and Unbraced Buildings	6-1
6.2 Slender Columns	6-1
6.3 Straining actions for slender braced columns	6-1
6.4 Straining actions for slender columns in unbraced frames	6-3
6.5 Examples	6-4
	6-5
<b>7. Shear and Torsion</b>	
7.1 Ultimate Shear Strength	7-1
7.1.1 Maximum Shear Strength	7-1
7.1.2 Concrete shear strength	7-1
7.2 Design Criteria	7-1
7.3 Shear Strength of Sections with Shear Reinforcement	7-3
7.4 Solved Examples	7-4
7.5 Shear Friction and Shear Resistance in Brackets and Corbels	7-7
7.5.1 Shear friction	7-10
7.5.2 Brackets and corbels	7-10
7.5.3 Design example	7-10
7.6.Ultimate Torsion Strength	7-12
7.6.1 Nominal shear stress due to torsion	7-15
7.6.2 Maximum shear strength	7-15
7.7 Torsion reinforcement	7-16
7.8 General Recommendations Regarding Web Reinforcement	7-16
	7-17
<b>8. Limit States of Cracking</b>	
8.1 General	8-1
8.2 Satisfaction of Cracking Limit State	8-1
8.3 Liquid Containing Structures	8-2
8.4 Examples	8-5
8.5 Representation of Code Equation (4-66)	8-7
	8-22
<b>9. Development Length</b>	
	9-1

## List of Tables

Table (2-1): Ultimate Limit Design Tables (Fy=240 MPa And Fy=360 MPa)	2-24
Table (2-2):Ultimate Limit Design Tables (Fy=240 MPa And Fy=360 MPa)	2-25
Table (2-3): Ultimate Limit Design Tables (Fy=240 MPa And Fy=360 MPa)	2-26
Table (2-4): Ultimate Limit Design Tables (Fy=280 MPa And Fy=400 MPa)	2-27
Table (7.1): Values of $q_{cu}$ and $q_u$ (max). (N/mm <sup>2</sup> )	7-2
Table (7.2): Concrete Shear Strength ( $q_{cu}$ with axial compression force)	7-2
Table (7.3): Concrete Shear Strength ( $q_{cu}$ with axial tensile force)	7-3
Table (7-4): : Summary of Shear Equations	7-6
Table (7-5): Stirrups Reinforcement for combined Shear and Torsion	7-16
Table (7-6): Summary of Design Equations for Combined Shear and Torsion	7-19
Table (7-7) Values of parameter $\beta$ for calculating torsional stiffness	7-20
Table (8-1): Categories of Structures According to Exposure of Concrete	8-1
Table (8-2): Values of $w_k$	8-2
Table (8-3): Working Stresses for Reinforcing Steel and Coefficients of reducing Bar Stresses $\beta_{cr}$	8-4
Table (8-4): Minimum Concrete Cover (mm)	8-4
Table (8-5): Values of the Coefficient $\eta$	8-5
Table (8-6) Application In Case Of Cracking Due To Applied Service Loads	8-22
Table (8-7): Application Of Equation (4-66) In Case of Cracking Due Intrinsic Imposed Deformations [where $f_s = f_{sr}$ ]	8-24
Table (8-8): Values of $\beta^1$ and $k$ for different (X) values in rectangular sections.	8-25
Table (8-9): Application Of Equation (4-66) In Case Of Cracking Of Walls Because Of Early Thermal Contraction	8-25
Table (9-1): Development Length Of Tension Bars With Straight Ends	9-1
Table (9-2): Development Length Of Tension Bars With Hooked Ends	9-2
Table (9-3): Development Length ( $L_d$ ) of Compression Bars	9-3

## List of Charts

CHART (2-1): Ultimate Limit Design Charts For Simple Bending & Eccentric Force (Tension Failure) For $f_y = 240 \text{ & } 360 \text{ N/mm}^2$	2-19
CHART (2-2): Ultimate Limit Design Charts For Simple Bending & Eccentric Force (Tension Failure) For $f_y = 280 \text{ & } 400 \text{ N/mm}^2$	2-20
CHART (2-3): Ultimate Limit Design Charts For Simple Bending & Eccentric Force (Tension Failure)	2-21
CHART (2-4): Ultimate Limit Design Charts For Simple Bending & Eccentric Force (Tension Failure)	2-22
CHART (2-4): Ultimate Limit Design Charts For Simple Bending & Eccentric Force (Tension Failure)	2-23
CHART (2-6): Ultimate Limit Design Chart for Doubly Reinforced Sections ( $f_y=400 \text{ MPa}$ )	2-28
CHART (2-7): Ultimate Limit Design Chart for Doubly Reinforced Sections ( $f_y=360 \text{ MPa}$ )	2-29
CHART (2-8): Ultimate Limit Design Chart for Doubly Reinforced Sections ( $f_y=280 \text{ MPa}$ )	2-30
CHART (2-9): Ultimate Limit Design Chart for Doubly Reinforced Sections ( $f_y=240 \text{ MPa}$ )	2-31
CHART (3-1): Design Of Axially Loaded Tied Columns $f_y=400 \text{ N/mm}^2$	3-3
CHART (3-2): Design Of Axially Loaded Tied Columns $f_y=360 \text{ N/mm}^2$	3-4
CHART (3-3): Design Of Axially Loaded Tied Columns $f_y=280 \text{ N/mm}^2$	3-5
CHART (3-4): Design Of Axially Loaded Tied Columns $f_y=240 \text{ N/mm}^2$	3-6
CHART (4-1): Interaction Diagrams ( $f_y=400 \text{ N/mm}^2, \alpha=1.0, \zeta=0.9$ )	4-20
CHART (4-2): Interaction Diagrams ( $f_y=400 \text{ N/mm}^2, \alpha=1.0, \zeta=0.8$ )	4-21
CHART (4-3): Interaction Diagrams ( $f_y=400 \text{ N/mm}^2, \alpha=1.0, \zeta=0.7$ )	4-22
CHART (4-4): Interaction Diagrams ( $f_y=360 \text{ N/mm}^2, \alpha=1.0, \zeta=0.9$ )	4-23
CHART (4-5): Interaction Diagrams ( $f_y=360 \text{ N/mm}^2, \alpha=1.0, \zeta=0.8$ )	4-24
CHART (4-6): Interaction Diagrams ( $f_y=360 \text{ N/mm}^2, \alpha=1.0, \zeta=0.7$ )	4-25
CHART (4-7): Interaction Diagrams ( $f_y=280 \text{ N/mm}^2, \alpha=1.0, \zeta=0.9$ )	4-26
CHART (4-8): Interaction Diagrams ( $f_y=280 \text{ N/mm}^2, \alpha=1.0, \zeta=0.8$ )	4-27
CHART (4-9): Interaction Diagrams ( $f_y=280 \text{ N/mm}^2, \alpha=1.0, \zeta=0.7$ )	4-28
CHART (4-10): Interaction Diagrams ( $f_y=240 \text{ N/mm}^2, \alpha=1.0, \zeta=0.9$ )	4-29
CHART (4-11): Interaction Diagrams ( $f_y=240 \text{ N/mm}^2, \alpha=1.0, \zeta=0.8$ )	4-30
CHART (4-12): Interaction Diagrams ( $f_y=240 \text{ N/mm}^2, \alpha=1.0, \zeta=0.7$ )	4-31
CHART (4-13): Interaction Diagrams ( $f_y=400 \text{ N/mm}^2, \alpha=0.8, \zeta=0.9$ )	4-32
CHART (4-14): Interaction Diagrams ( $f_y=400 \text{ N/mm}^2, \alpha=0.8, \zeta=0.8$ )	4-33
CHART (4-15): Interaction Diagrams ( $f_y=400 \text{ N/mm}^2, \alpha=0.8, \zeta=0.7$ )	4-34
CHART (4-16): Interaction Diagrams ( $f_y=360 \text{ N/mm}^2, \alpha=0.8, \zeta=0.9$ )	4-35
CHART (4-17): Interaction Diagrams ( $f_y=360 \text{ N/mm}^2, \alpha=0.8, \zeta=0.8$ )	4-36
CHART (4-18): Interaction Diagrams ( $f_y=360 \text{ N/mm}^2, \alpha=0.8, \zeta=0.7$ )	4-37
CHART (4-19): Interaction Diagrams ( $f_y=280 \text{ N/mm}^2, \alpha=0.8, \zeta=0.9$ )	4-38
CHART (4-20): Interaction Diagrams ( $f_y=280 \text{ N/mm}^2, \alpha=0.8, \zeta=0.8$ )	4-39
CHART (4-21): Interaction Diagrams ( $f_y=280 \text{ N/mm}^2, \alpha=0.8, \zeta=0.7$ )	4-40

CHART (4-22): Interaction Diagrams ( $f_y=240 \text{ N/mm}^2, \alpha=0.8, \zeta=0.9$ )	4-41
CHART (4-23): Interaction Diagrams ( $f_y=240 \text{ N/mm}^2, \alpha=0.8, \zeta=0.8$ )	4-42
CHART (4-24): Interaction Diagrams ( $f_y=240 \text{ N/mm}^2, \alpha=0.8, \zeta=0.7$ )	4-43
CHART (4-25): Interaction Diagrams (Uniform steel $f_y=400 \text{ N/mm}^2, \zeta=0.9$ )	4-44
CHART (4-26): Interaction Diagrams (Uniform steel $f_y=400 \text{ N/mm}^2, \zeta=0.8$ )	4-45
CHART (4-27): Interaction Diagrams (Uniform steel $f_y=360 \text{ N/mm}^2, \zeta=0.9$ )	4-46
CHART (4-28): Interaction Diagrams (Uniform steel $f_y=360 \text{ N/mm}^2, \zeta=0.8$ )	4-47
CHART (4-29): Interaction Diagrams (Uniform steel $f_y=280 \text{ N/mm}^2, \zeta=0.9$ )	4-48
CHART (4-30): Interaction Diagrams (Uniform steel $f_y=280 \text{ N/mm}^2, \zeta=0.8$ )	4-49
CHART (4-31): Interaction Diagrams (Uniform steel $f_y=240 \text{ N/mm}^2, \zeta=0.9$ )	4-50
CHART (4-32): Interaction Diagrams (Uniform steel $f_y=240 \text{ N/mm}^2, \zeta=0.8$ )	4-51
CHART (4-33): Interaction Diagrams (Circular Sections $f_y=400 \text{ N/mm}^2, \zeta=0.9$ )	4-52
CHART (4-34): Interaction Diagrams (Circular Sections $f_y=400 \text{ N/mm}^2, \zeta=0.8$ )	4-53
CHART (4-35): Interaction Diagrams (Circular Sections $f_y=400 \text{ N/mm}^2, \zeta=0.7$ )	4-54
CHART (4-36): Interaction Diagrams (Circular Sections $f_y=360 \text{ N/mm}^2, \zeta=0.9$ )	4-55
CHART (4-37): Interaction Diagrams (Circular Sections $f_y=360 \text{ N/mm}^2, \zeta=0.8$ )	4-56
CHART (4-38): Interaction Diagrams (Circular Sections $f_y=360 \text{ N/mm}^2, \zeta=0.7$ )	4-57
CHART (4-39): Interaction Diagrams (Circular Sections $f_y=280 \text{ N/mm}^2, \zeta=0.9$ )	4-58
CHART (4-40): Interaction Diagrams (Circular Sections $f_y=280 \text{ N/mm}^2, \zeta=0.8$ )	4-59
CHART (4-41): Interaction Diagrams (Circular Sections $f_y=280 \text{ N/mm}^2, \zeta=0.7$ )	4-60
CHART (4-42): Interaction Diagrams (Circular Sections $f_y=240 \text{ N/mm}^2, \zeta=0.9$ )	4-61
CHART (4-43): Interaction Diagrams (Circular Sections $f_y=240 \text{ N/mm}^2, \zeta=0.8$ )	4-62
CHART (4-44): Interaction Diagrams (Circular Sections $f_y=240 \text{ N/mm}^2, \zeta=0.7$ )	4-63
CHART (4-45): Interaction Diagrams ( $f_y=400 \text{ N/mm}^2, f_{cu}=35 \text{ N/mm}^2, \zeta=0.9, \alpha=1$ )	4-65
CHART (4-46): Interaction Diagrams ( $f_y=400 \text{ N/mm}^2, f_{cu}=35 \text{ N/mm}^2, \zeta=0.8, \alpha=1$ )	4-66
CHART (4-47): Interaction Diagrams ( $f_y=400 \text{ N/mm}^2, f_{cu}=30 \text{ N/mm}^2, \zeta=0.9, \alpha=1$ )	4-67
CHART (4-48): Interaction Diagrams ( $f_y=400 \text{ N/mm}^2, f_{cu}=30 \text{ N/mm}^2, \zeta=0.8, \alpha=1$ )	4-68
CHART (4-49): Interaction Diagrams ( $f_y=400 \text{ N/mm}^2, f_{cu}=25 \text{ N/mm}^2, \zeta=0.9, \alpha=1$ )	4-69
CHART (4-50): Interaction Diagrams ( $f_y=400 \text{ N/mm}^2, f_{cu}=25 \text{ N/mm}^2, \zeta=0.8, \alpha=1$ )	4-70
CHART (4-51): Interaction Diagrams ( $f_y=360 \text{ N/mm}^2, f_{cu}=35 \text{ N/mm}^2, \zeta=0.9, \alpha=1$ )	4-71
CHART (4-52): Interaction Diagrams ( $f_y=360 \text{ N/mm}^2, f_{cu}=35 \text{ N/mm}^2, \zeta=0.8, \alpha=1$ )	4-72
CHART (4-53): Interaction Diagrams ( $f_y=360 \text{ N/mm}^2, f_{cu}=30 \text{ N/mm}^2, \zeta=0.9, \alpha=1$ )	4-73
CHART (4-54): Interaction Diagrams ( $f_y=360 \text{ N/mm}^2, f_{cu}=30 \text{ N/mm}^2, \zeta=0.8, \alpha=1$ )	4-74
CHART (4-55): Interaction Diagrams ( $f_y=360 \text{ N/mm}^2, f_{cu}=25 \text{ N/mm}^2, \zeta=0.9, \alpha=1$ )	4-75
CHART (4-56): Interaction Diagrams ( $f_y=360 \text{ N/mm}^2, f_{cu}=25 \text{ N/mm}^2, \zeta=0.8, \alpha=1$ )	4-76
CHART (4-57): Interaction Diagrams ( $f_y=240 \text{ N/mm}^2, f_{cu}=25 \text{ N/mm}^2, \zeta=0.9, \alpha=1$ )	4-77
CHART (4-58): Interaction Diagrams ( $f_y=240 \text{ N/mm}^2, f_{cu}=25 \text{ N/mm}^2, \zeta=0.8, \alpha=1$ )	4-78
CHART (4-59): Interaction Diagrams ( $f_y=240 \text{ N/mm}^2, f_{cu}=20 \text{ N/mm}^2, \zeta=0.9, \alpha=1$ )	4-79
CHART (4-60): Interaction Diagrams ( $f_y=240 \text{ N/mm}^2, f_{cu}=20 \text{ N/mm}^2, \zeta=0.8, \alpha=1$ )	4-80

CHART (5-1): Biaxial Interaction Diagrams ( $f_y=400 \text{ N/mm}^2$ , $\zeta=0.9$ , $R=0.3$ )	5-9
CHART (5-2): Biaxial Interaction Diagrams ( $f_y=400 \text{ N/mm}^2$ , $\zeta=0.9$ , $R=0.4$ )	5-10
CHART (5-3): Biaxial Interaction Diagrams ( $f_y=400 \text{ N/mm}^2$ , $\zeta=0.9$ , $R=0.5$ )	5-11
CHART (5-4): Biaxial Interaction Diagrams ( $f_y=400 \text{ N/mm}^2$ , $\zeta=0.9$ , $R=0.6$ )	5-12
CHART (5-5): Biaxial Interaction Diagrams ( $f_y=360 \text{ N/mm}^2$ , $\zeta=0.9$ , $R=0.3$ )	5-13
CHART (5-6): Biaxial Interaction Diagrams ( $f_y=360 \text{ N/mm}^2$ , $\zeta=0.9$ , $R=0.4$ )	5-14
CHART (5-7): Biaxial Interaction Diagrams ( $f_y=360 \text{ N/mm}^2$ , $\zeta=0.9$ , $R=0.5$ )	5-15
CHART (5-8): Biaxial Interaction Diagrams ( $f_y=360 \text{ N/mm}^2$ , $\zeta=0.9$ , $R=0.6$ )	5-16
CHART (5-9): Biaxial Interaction Diagrams ( $f_y=280 \text{ N/mm}^2$ , $\zeta=0.9$ , $R=0.3$ )	5-17
CHART (5-10): Biaxial Interaction Diagrams ( $f_y=280 \text{ N/mm}^2$ , $\zeta=0.9$ , $R=0.4$ )	5-18
CHART (5-11): Biaxial Interaction Diagrams ( $f_y=280 \text{ N/mm}^2$ , $\zeta=0.9$ , $R=0.5$ )	5-19
CHART (5-12): Biaxial Interaction Diagrams ( $f_y=280 \text{ N/mm}^2$ , $\zeta=0.9$ , $R=0.6$ )	5-20
CHART (5-13): Biaxial Interaction Diagrams ( $f_y=240 \text{ N/mm}^2$ , $\zeta=0.9$ , $R=0.3$ )	5-21
CHART (5-14): Biaxial Interaction Diagrams ( $f_y=240 \text{ N/mm}^2$ , $\zeta=0.9$ , $R=0.4$ )	5-22
CHART (5-15): Biaxial Interaction Diagrams ( $f_y=240 \text{ N/mm}^2$ , $\zeta=0.9$ , $R=0.5$ )	5-23
CHART (5-16): Biaxial Interaction Diagrams ( $f_y=240 \text{ N/mm}^2$ , $\zeta=0.9$ , $R=0.6$ )	5-24

## 1. MATERIAL STRENGTH AND STRESS-STRAIN RELATIONSHIPS